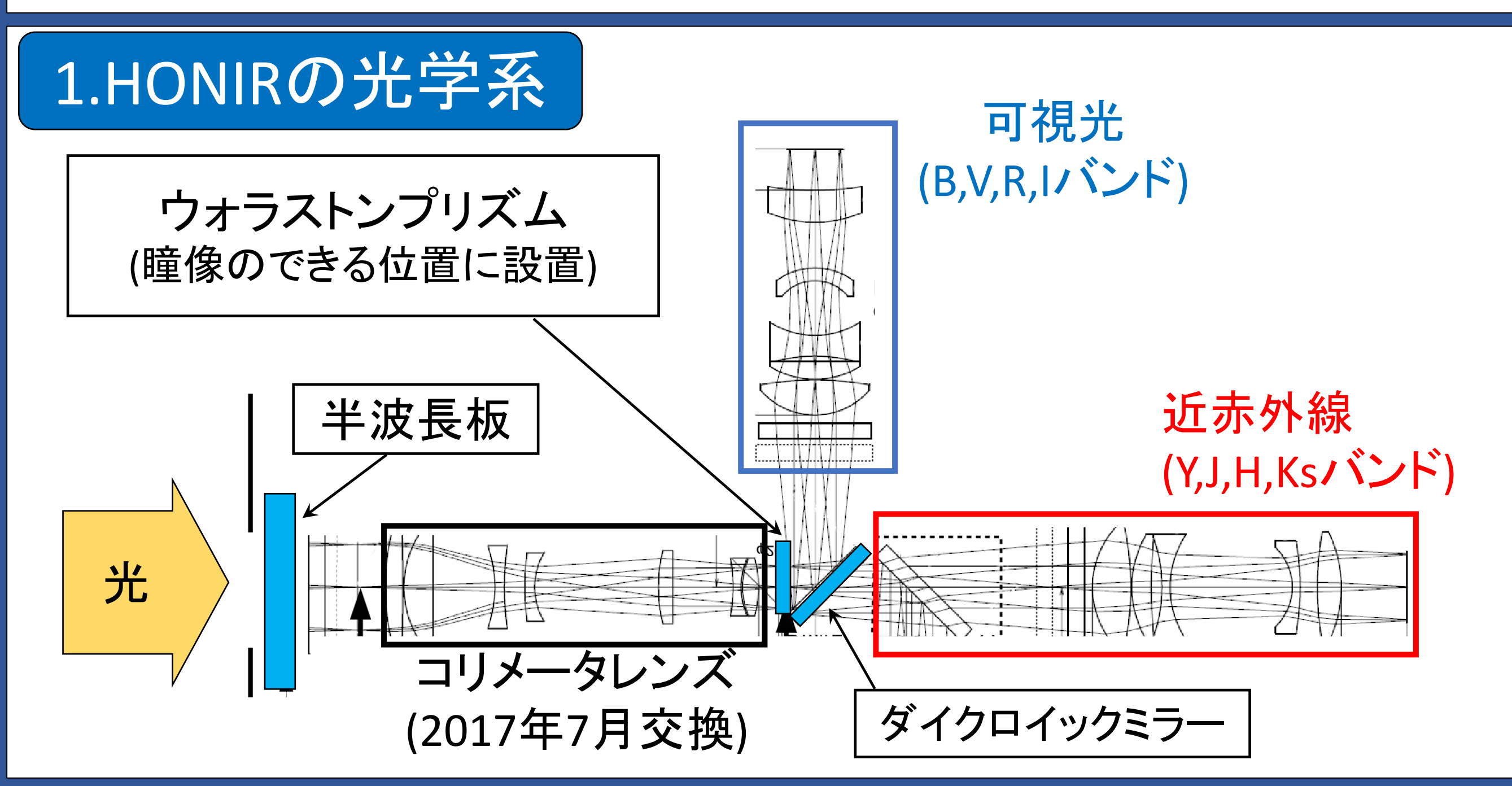
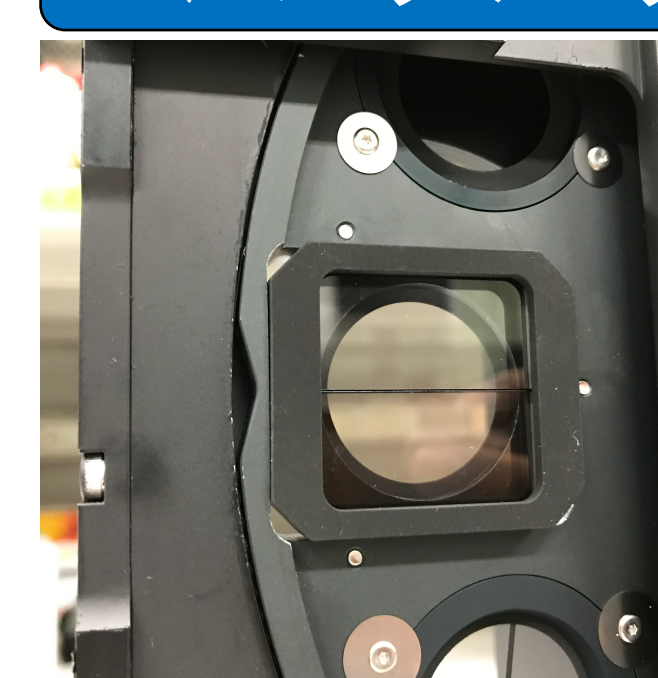
HONIRにおける一露出型を含む偏光モードの性能評価

長木舞子,川端弘治,中岡竜也,川端美穂,森裕樹、松場祐樹(広島大学)、伊藤亮介(東京工業大学)、秋田谷洋(埼玉大学)、吉田道利(国立天文台)

2017年秋季年会において、LiYF4製ダブルウォラストンプリズムを用いた一露出型モードの評価結果について、偏光能率などの基本特性は、 通常モードのLiYF4製ウォラストンプリズムとほぼ同じであることを報告した。しかし、2017年7月に新たなコリメータレンズ系を導入して 以降、通常モードの偏光能率に大きな変化が見られたため、一露出型を含めて、HONIRの偏光観測の再評価を実施した。2017年6月以前の 偏光能率を再確認したところ、通常モード、一露出型モードの偏光能率ともに、V,R,Ksバンドでそれぞれ約50%,約60%,約95%であった。 8月以降に取得したデータを解析した結果、どちらのモードともに、V, R, Ksバンドでいずれも99%以上の高い偏光能率が得られた。 6月までの偏光能率が良くなかった原因は、現行のウォラストンプリズムではなく、以前のコリメータレンズ系によって消偏光効果が あったと考えられる。今後は、以前使用していたコリメータレンズ系を調査することによって消偏光効果の原因を探る。

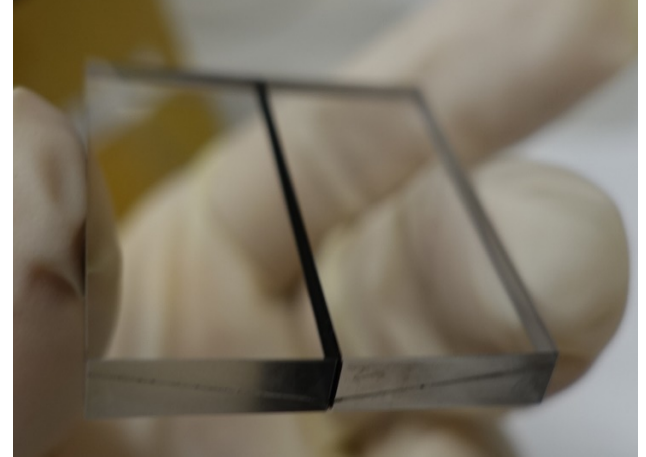


2.シングルウォラストンとダブルウォラストン



シングルウォラストンプリズム:2つの複屈折性を持つプリズムを 光軸が直交するように接着したもの。入射光は常光と異常光 という互いの偏光面が90°異なる光線となって出射。

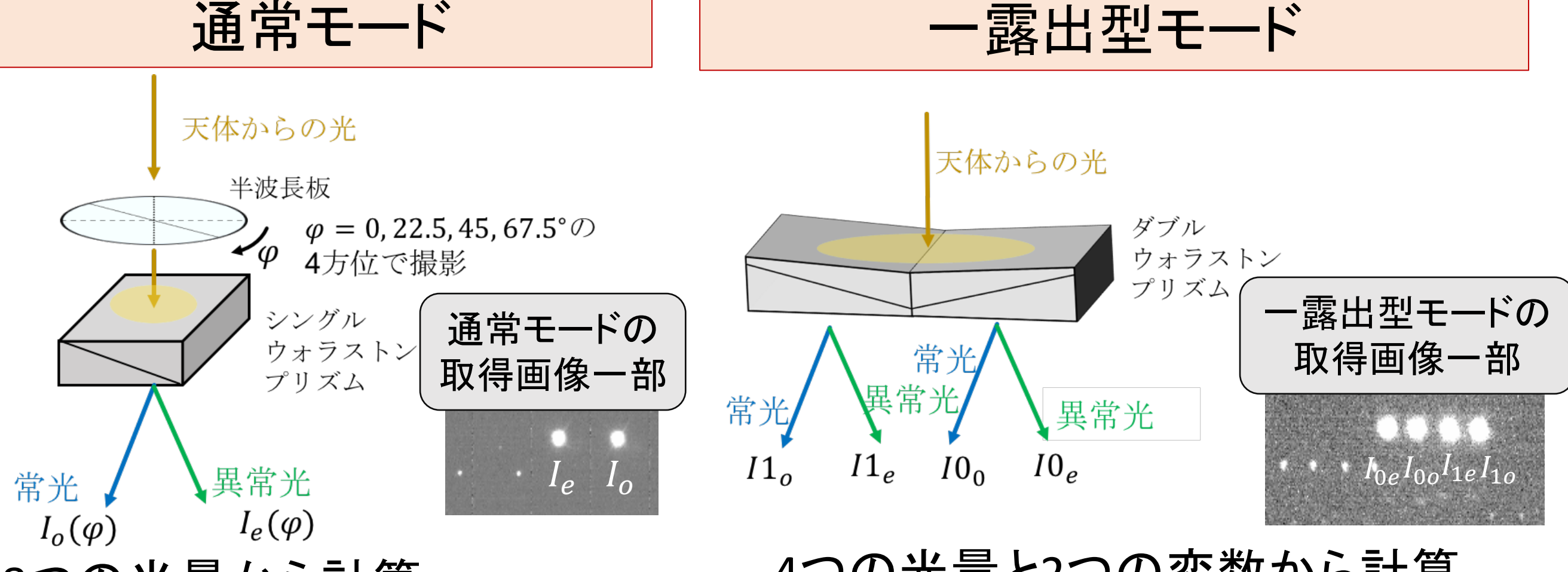
ダブルウォラストンプリズム:2つの等価なウォラストンプリズムを、 光学軸が互いに45°異なるように横に並べて接合したもの (§5の図を参照)。



プリズムの素材: *LiYF*₄

- •可視光全域から近赤外域までほぼ透明 (HONIRの全波長域をカバー可能)
- 複屈折性が大きめ

3.偏光観測モード



8つの光量から計算

装置の特性に影響されにくく、 偏光観測の精度が良い

4回の露出が完了しないと 偏光が計算できない

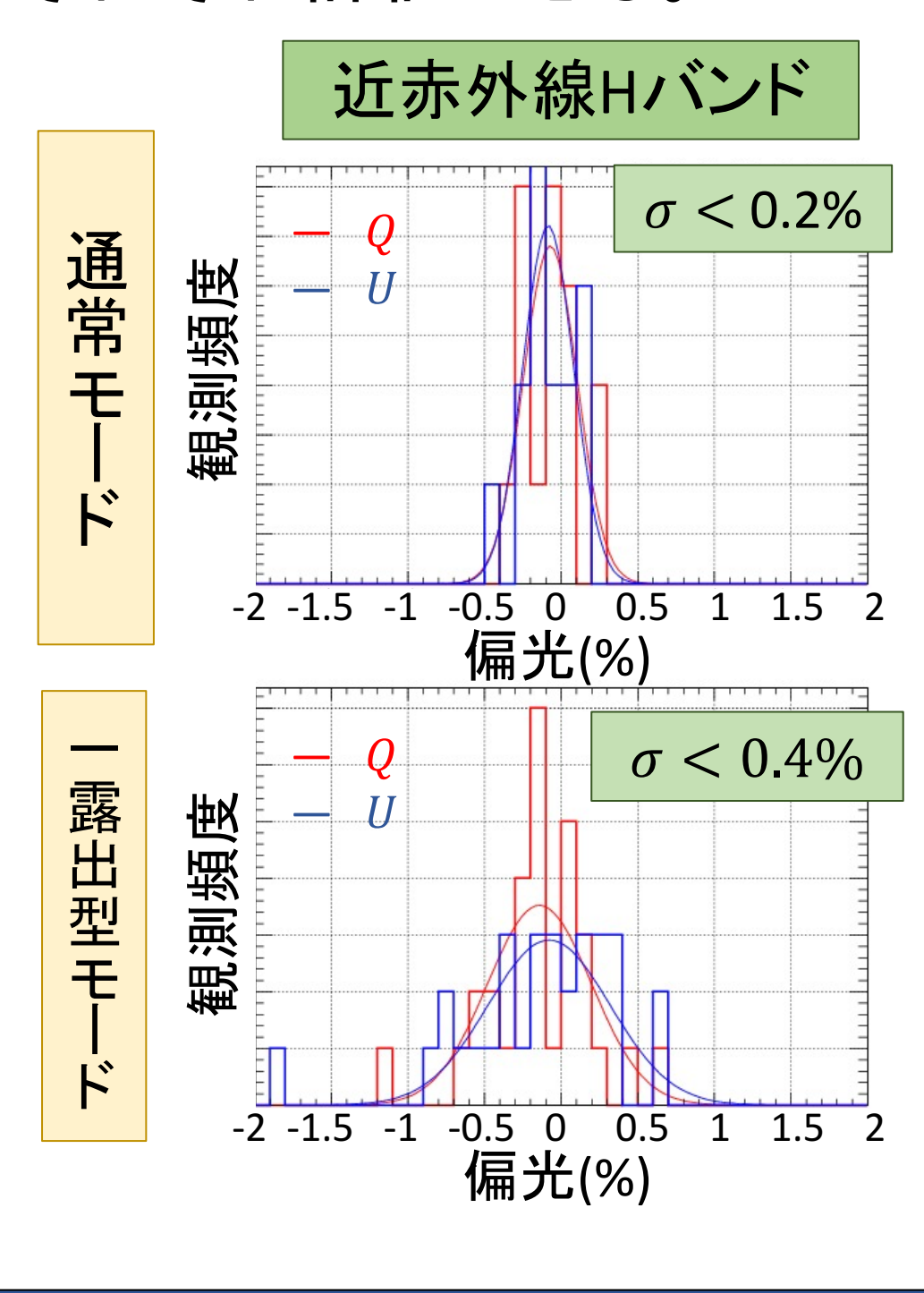
4つの光量と2つの変数から計算

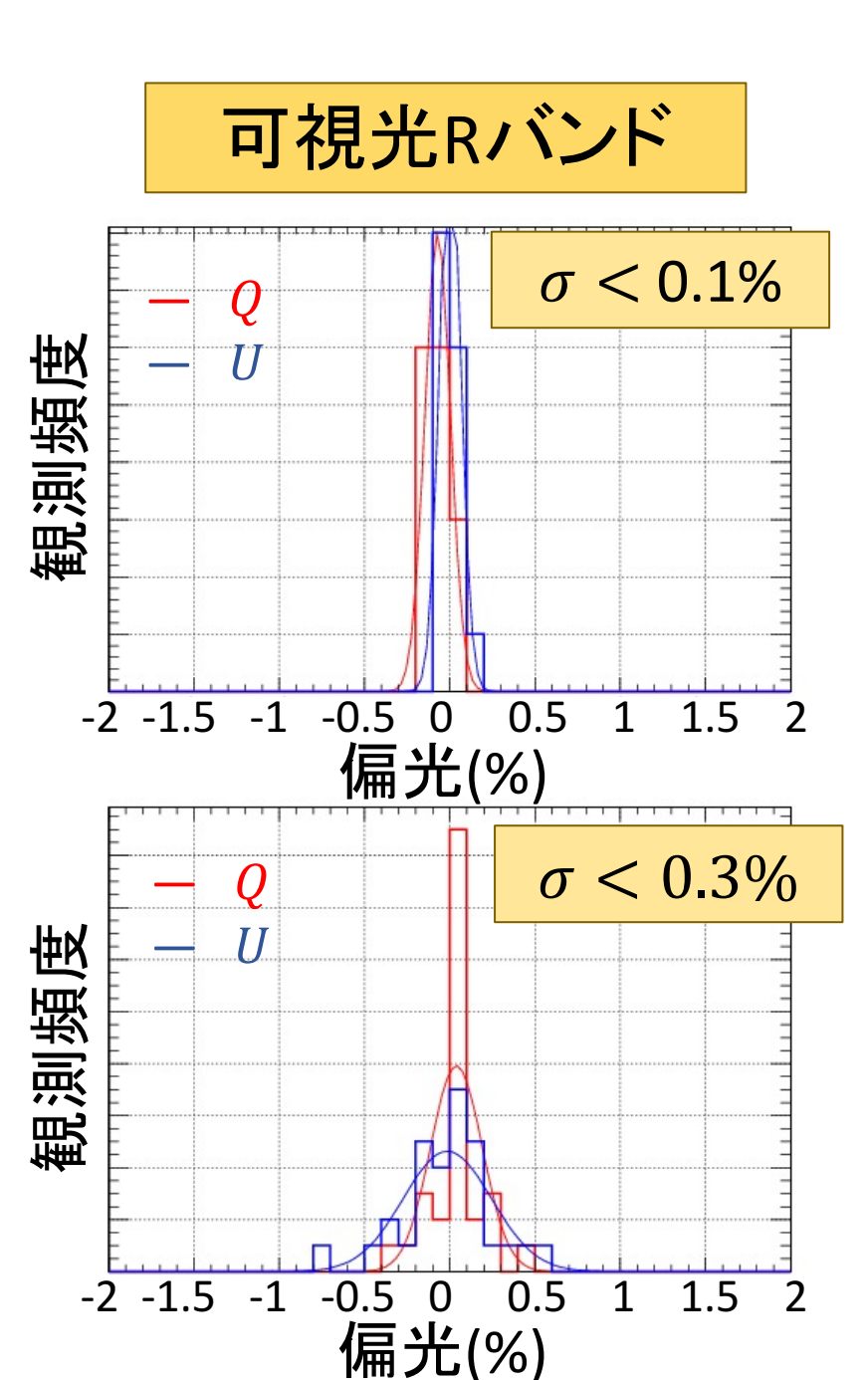
1回の露出で偏光観測ができ、突発天体に 対しても同時性のある測定が可能

効率差による擬似偏光が自動的に キャンセルせず、キャリブレーションが難しい

4.結果(器械偏光の安定性)

各モード・バンドにおいて、多数回の無偏光標準星の観測から導出された Q、U(ストークスパラメータ)値のヒストグラム。分布のピークないし平均が 系統的な器械偏光が、分布の幅(標準偏差)から器械偏光の安定性が それぞれ評価できる。



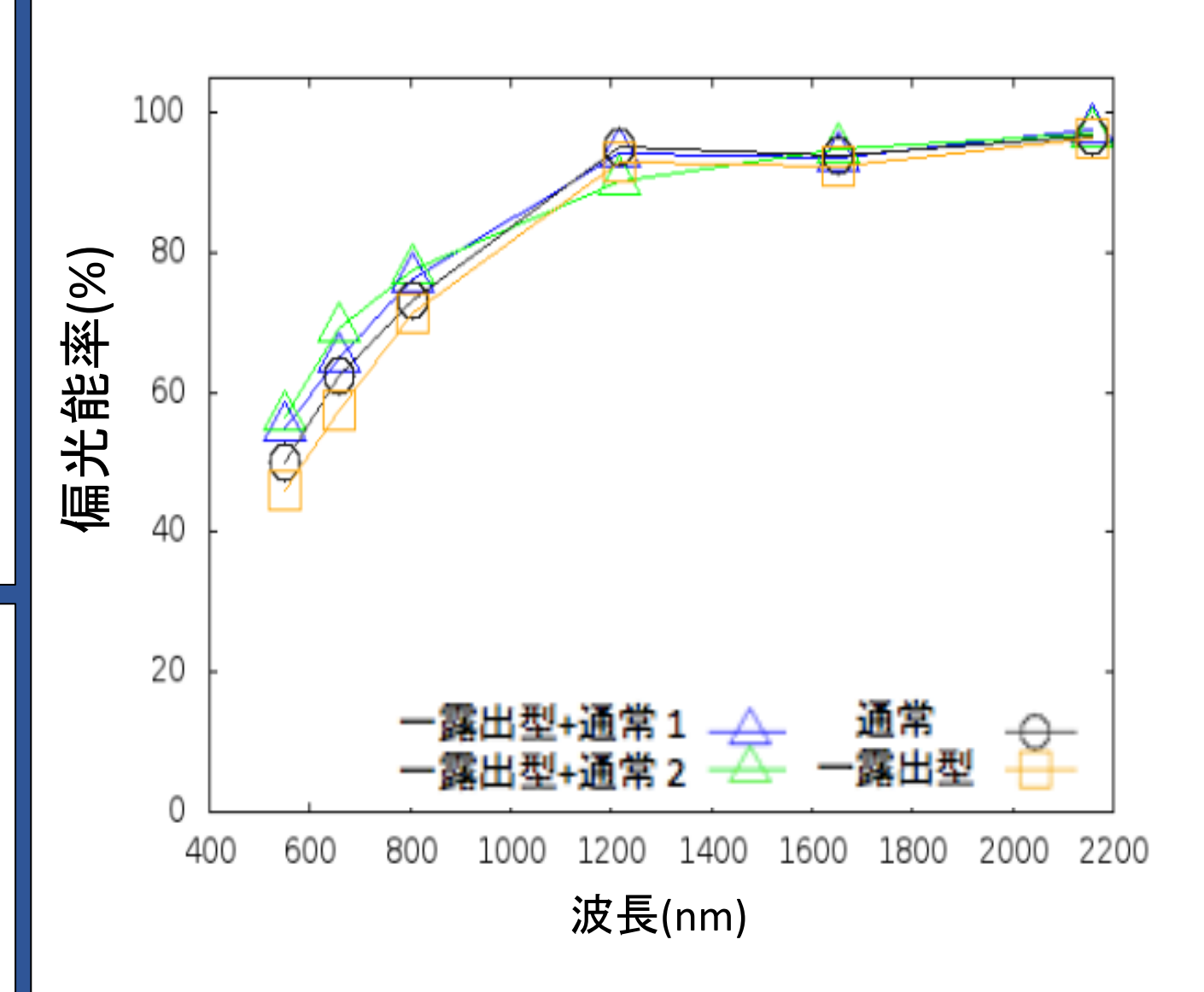


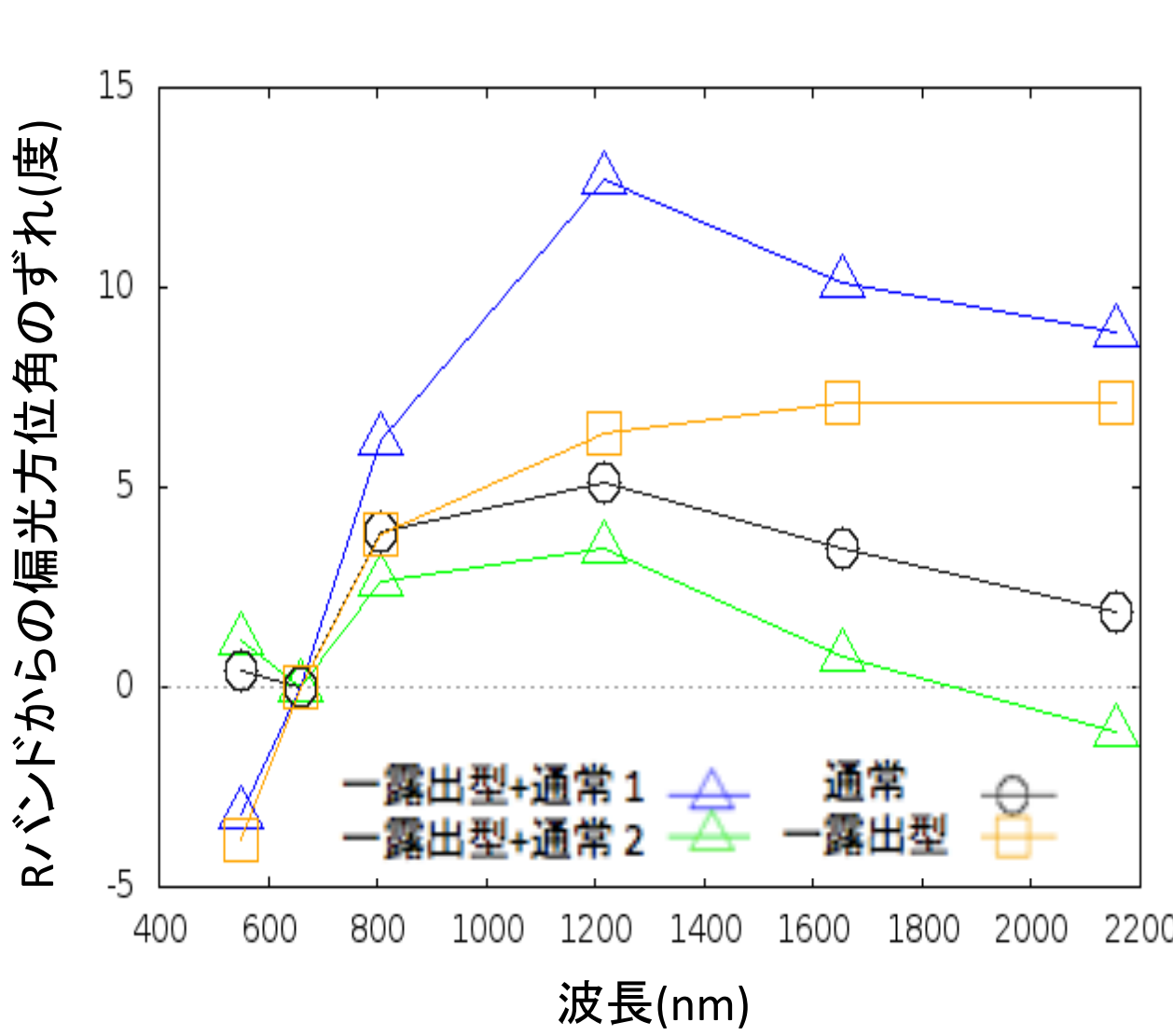
観測毎の器械偏光の ばらつきは、一露出型 モードでは大きめだが、 Rバンドでの標準偏差は 0.3%に留まっており、 ガンマ線バーストの 残光のように

1%を超える偏光を 示す天体には十分な 精度での観測が可能。

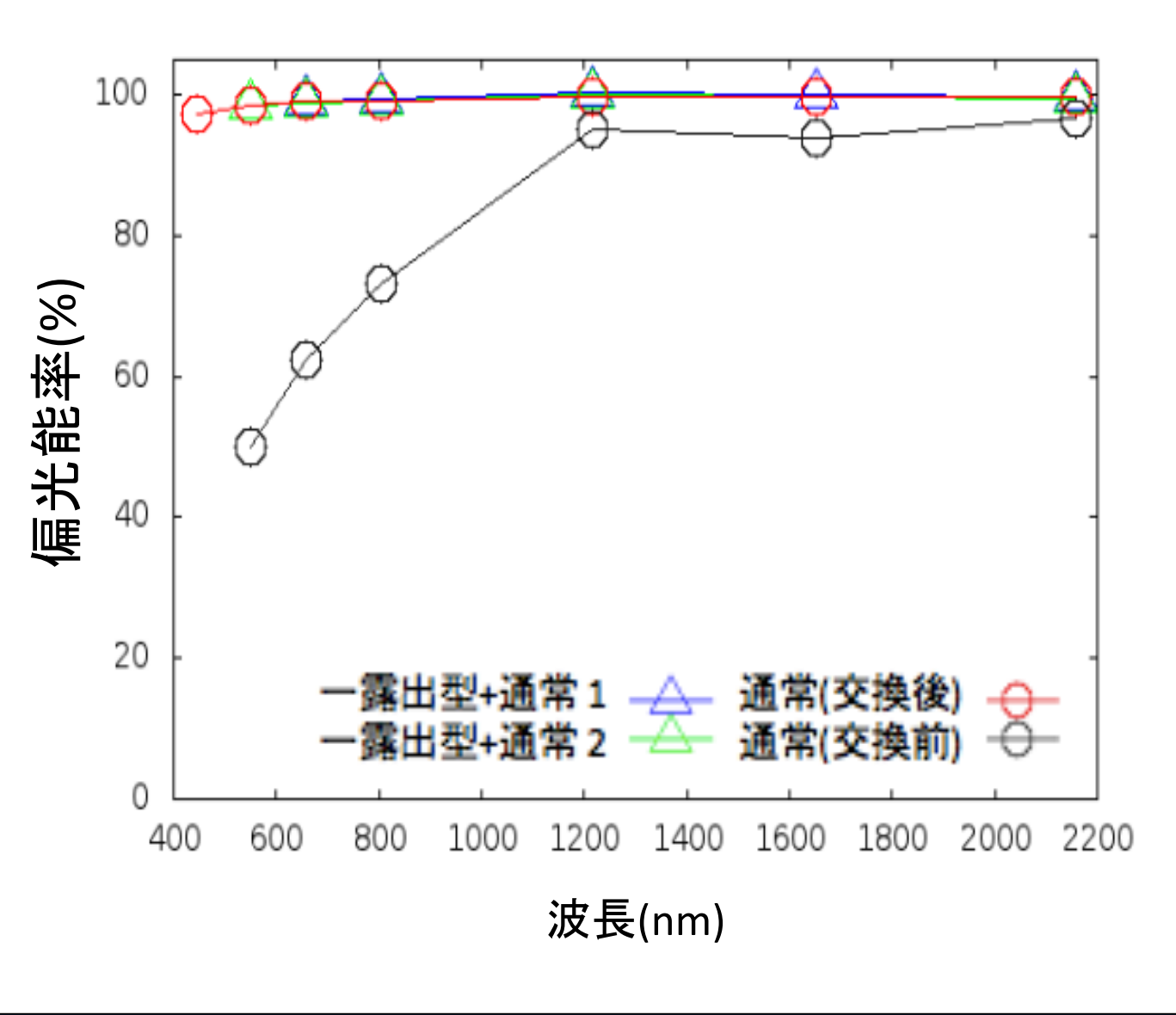
5.結果(偏光能率)

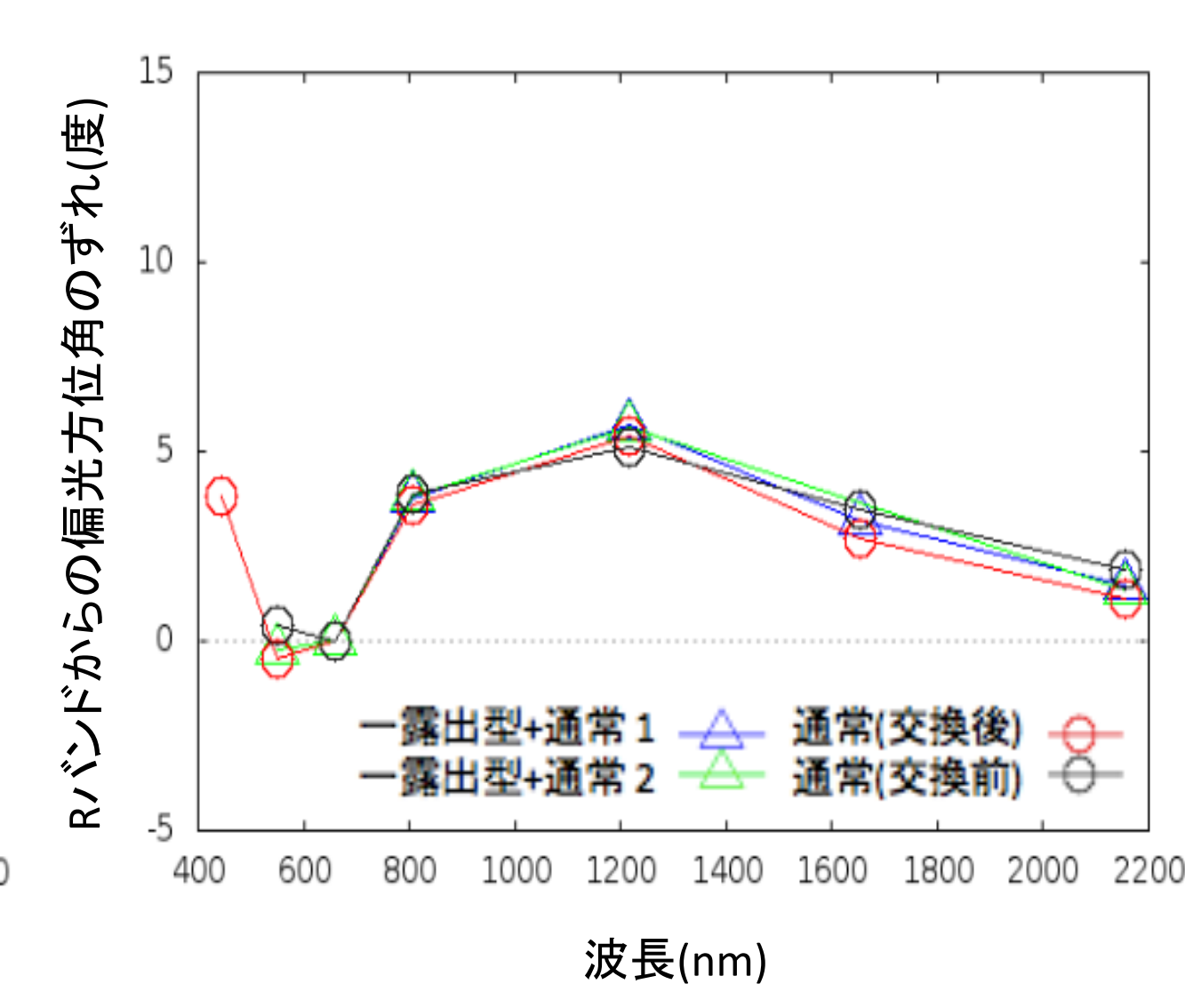
天体に対し、100%偏光を生じるワイヤグリッドを挿入し、 観測した通常モード、一露出型モードのデータ、および一露出型 ウォラストンプリズムと半波長板を通常モードと同様に解析したデータ。





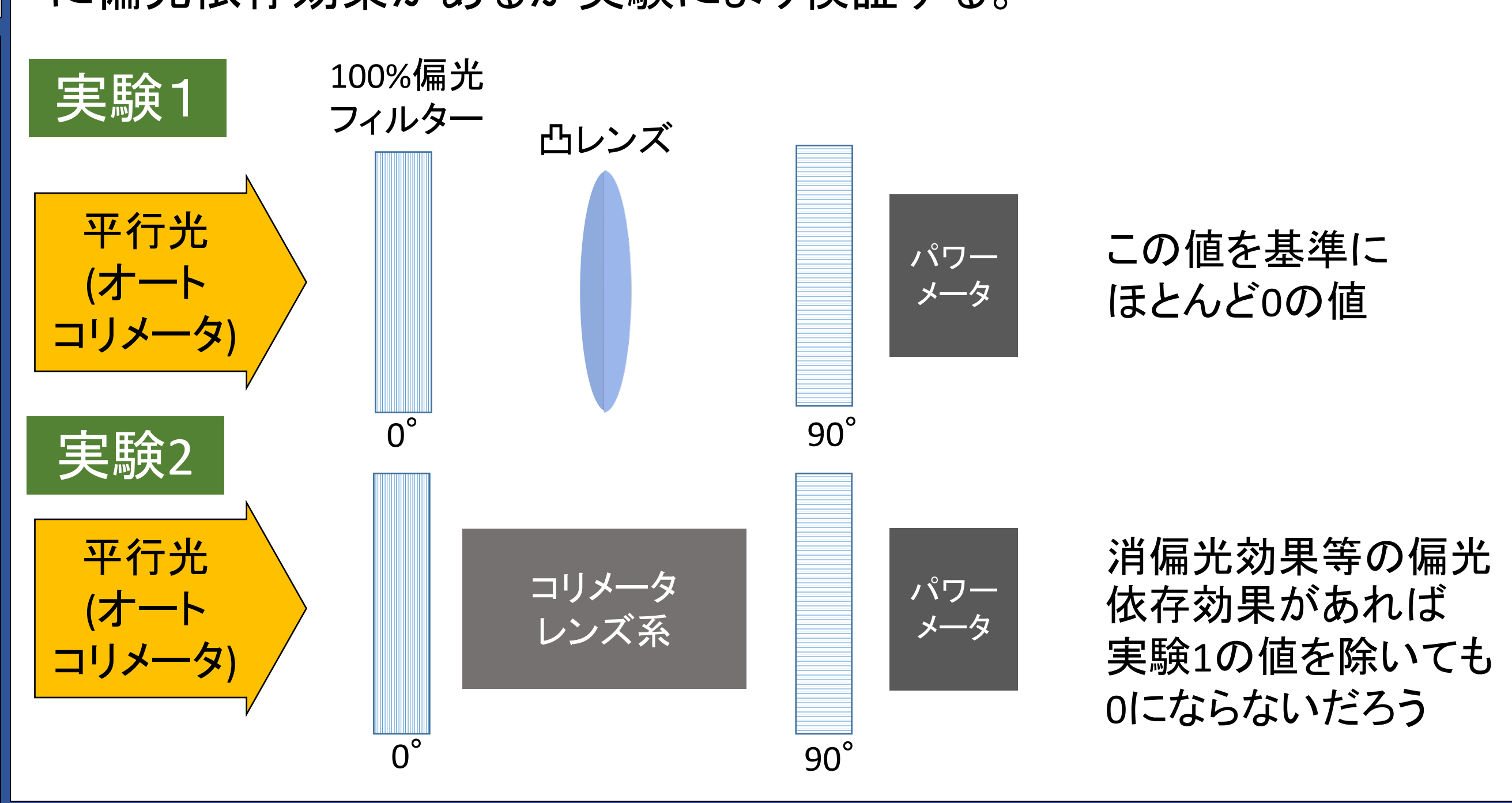
上のグラフはHONIR内のコリメータレンズを交換する前のデータで、 下のグラフがコリメータレンズ交換後の通常モードと一露出型を 通常モードと同様に解析したデータ。以前の通常モードとの変化が わかるように比較している。全波長帯で100%近い偏光能率に。 偏光方位角のずれもモードによるばらつきがほとんどなくなる。





6.効率変化の原因とその追求

以前まで偏光能率が可視光側で特に良くなかった原因がウォラストン プリズムの素材(LiYF4)にあると考えていた。コリメータレンズ交換後に 偏光能率が大きく変化したため、改めて通常モードのスペアの ウォラストンプリズムを実験室にて評価したところ、500-650nmの 入射光に対し95%を超える偏光能率が確認できた。そこで、効率変化の 原因はコリメータレンズにあると考え、以前使用していたコリメータレンズ に偏光依存効果があるか実験により検証する。



7.まとめと今後

コリメータレンズ系交換後、偏光能率に大きな変化が見られた。 偏光能率が以前良くなかった原因はウォラストンプリズムであると 思われていたが、コリメータレンズ系にありそうである。 今後その原因を実験により調査する。